

# Controle de Estabilização de um Pêndulo Invertido Rotacional

JOSÉ A. DA SILVA<sup>a,1</sup>, KAUÁ LESSA L. DOS SANTOS<sup>b,2</sup>, PABLO MUNIH S. DE CARVALHO<sup>c,3</sup> and PLÁCIDO AUGUSTUS DE O. CORDEIRO<sup>d,4</sup>

<sup>a</sup>Engenharia da Computação, Universidade Federal de Alagoas

<sup>b</sup>Engenharia da Computação, Universidade Federal de Alagoas

<sup>c</sup>Engenharia da Computação, Universidade Federal de Alagoas

Prof. ICARO BEZERRA QUEIROZ DE ARAUJO

**Resumo**—Este relatório trata da segunda etapa do projeto da disciplina de sistemas de controle 1, de um pêndulo invertido rotacional. É apresentado, em primeira instância, as equações diferenciais de movimento do pêndulo obtidas através do método Euler-Lagrange, linearização do modelo e obtenção da função de transferência. Em seguida, a estabilidade do sistema é analisada, assim como a resposta do modelo a diferentes entradas, a fim de prever seu comportamento. Por fim, o software MATLAB/Simulink é utilizado para simular o sistema em malha aberta e os resultados são discutidos.

**Keywords**—pêndulo invertido, controle rotacional, estabilização, sistemas não lineares

## 1. Introdução

Anteriormente, foi discutido a importância do pêndulo invertido no estudo prático de sistemas de controle, as diferenças entre os dois principais modelos presentes na literatura e a escolha do pêndulo invertido rotacional como interesse deste estudo.

### 1.1. Descrição do Sistema

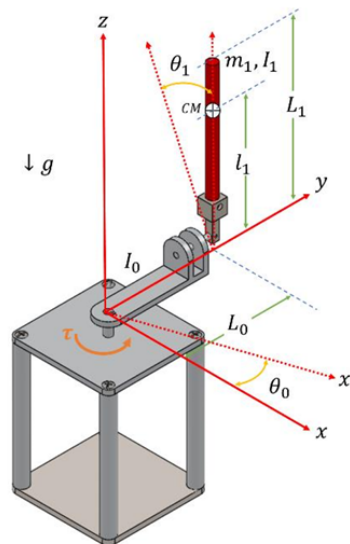
Recapitulando, o pêndulo invertido rotacional, também chamado de Pêndulo de Furuta, é composto por um pêndulo acoplado a um braço horizontal giratório, que é acionado por um motor. O movimento do sistema ocorre no plano horizontal, através do movimento do braço giratório e no plano vertical, através do movimento do pêndulo. A relação de apenas um atuador para dois graus de liberdade caracteriza este sistema como subatuado. A Figura 1 apresenta o modelo de referência para a modelagem matemática e implementação do controlador.

### 1.2. Variáveis do Sistema

O sistema físico possui o torque do motor como única entrada. Para este estudo, apenas a ângulo do pêndulo será considerado como saída, dessa forma caracterizando um sistema *single input single output* (SISO). É importante destacar que é possível considerar também o ângulo do braço como saída, dessa forma caracterizando um sistema *single input multiple output* (SIMO), porém, esse não é o foco deste estudo. As variáveis físicas são apresentadas na tabela a seguir:

**Tabela 1.** Símbolos para descrever os parâmetros das equações

Símbolo	Descrição
$L$	Distância até o centro de massa do pêndulo
$m$	Massa do braço do pêndulo
$r$	Comprimento do braço rotativo
$\theta$	Ângulo do braço do pêndulo (rad)
$\alpha$	Ângulo do pêndulo (rad)
$h$	Distância do centro de massa do pêndulo até o solo
$J_{cm}$	Inércia do pêndulo em relação ao seu centro de massa
$V_x$	Velocidade do centro de massa do pêndulo na direção $x$
$V_y$	Velocidade do centro de massa do pêndulo na direção $y$



**Figura 1.** Representação tridimensional do pêndulo invertido rotacional com seus parâmetros físicos e coordenadas. Fonte: (DUART et al., 2017)

### 1.3. Objetivo

O objetivo desta etapa é a obtenção do modelo matemático que descreve a dinâmica do sistema, analisar o modelo obtido e simular através do software MATLAB/Simulink.

## 2. Modelagem Matemática

A modelagem matemática do pêndulo invertido rotacional é obtida aplicando o método de Euler-Lagrange. Inicialmente, consideram-se as velocidades do centro de massa do pêndulo e do braço rotativo:

$$V_{Pen.cm} = -L \cos(\alpha) \dot{\alpha} \hat{x} - L \sin(\alpha) \dot{\alpha} \hat{y} \quad (1)$$

$$V_{arm} = r \dot{\theta} \quad (2)$$

Assim, as componentes de velocidade do centro de massa do pêndulo podem ser escritas como:

$$V_x = r \dot{\theta} - L \cos \alpha \dot{\alpha} \quad (3)$$

$$V_y = -L \sin \alpha \dot{\alpha} \quad (4)$$

### 2.1. Energia Potencial

A única energia potencial no sistema é a gravitacional:

$$V = mgh = mgL \cos \alpha \quad (5)$$

### 2.2. Energia Cinética

As energias cinéticas são devidas ao movimento do braço, ao movimento do centro de massa do pêndulo e à rotação do pêndulo em torno do seu próprio centro de massa:

$$T = \frac{1}{2} J_{eq} \dot{\theta}^2 + \frac{1}{2} m (r \dot{\theta} - L \cos \alpha \dot{\alpha})^2 + \frac{1}{2} m (-L \sin \alpha \dot{\alpha})^2 + \frac{1}{2} J_{cm} \dot{\alpha}^2 \quad (6)$$

O momento de inércia do pêndulo em relação ao seu centro de massa é dado por:

$$J_{cm} = \frac{1}{3}mL^2 \quad (7)$$

### 2.3. Lagrangiana

Assim, a Lagrangiana é escrita como:

$$\mathcal{L} = T - V \quad (8)$$

Expandindo:

$$\mathcal{L} = \frac{1}{2}J_{eq}\dot{\theta}^2 + \frac{2}{3}mL^2\dot{\alpha}^2 - mLr \cos \alpha \dot{\alpha}\dot{\theta} + \frac{1}{2}mr^2\dot{\theta}^2 - mgL \cos \alpha \quad (9)$$

### 2.4. Equações de Movimento

As coordenadas generalizadas são  $\theta$  e  $\alpha$ , de forma que o sistema pode ser descrito por:

$$(J_{eq} + mr^2)\ddot{\theta} - mLr\ddot{\alpha} = T_{output} - B_{eq}\dot{\theta} \quad (10)$$

$$\frac{4}{3}mL^2\ddot{\alpha} - mLr\ddot{\theta} - mgL\alpha = 0 \quad (11)$$

## 3. Análise do Modelo

- Análise teórica da estabilidade do sistema em malha aberta (análise dos polos da função de transferência).
- Previsão do comportamento dinâmico do sistema a partir do modelo (análise de resposta a degrau, rampa, etc.).

## 4. Simulação Computacional

- Implementação do modelo matemático em software (MATLAB/-Simulink ou similar).
- Apresentação dos resultados da simulação da resposta do sistema em malha aberta a diferentes sinais de entrada (degrau, impulso).
- Discussão e análise crítica dos resultados da simulação.

## 5. Conclusão Parcial

- Resumo dos resultados obtidos na modelagem e simulação.
- Perspectivas para a próxima etapa de montagem e validação.

## Referências

DUART, J L et al. Dynamic Modeling and Simulation of a Rotational Inverted Pendulum. **Journal of Physics: Conference Series**, IOP Publishing, v. 792, n. 1, p. 012081, jan. 2017. DOI: [10.1088/1742-6596/792/1/012081](https://doi.org/10.1088/1742-6596/792/1/012081). Disponível em: <https://dx.doi.org/10.1088/1742-6596/792/1/012081>.